ПОЛЯРИЗАЦИОННЫЕ ЭФФЕКТЫ В ИНКЛЮЗИВНОМ ПРОЦЕССЕ $e^+e^- o VX$ В МОДЕЛИ ПАРТОНОВ

Г. Н. ХАЧАТРЯН. Ю. Г. ШАХНАЗАРЯН

На основе ковариантной партонной модели рассмотрен инклюзивный процесс e+e→ VX в случае, когда суммирование по поляризациям векторного мезона не проводится. В бьеркеновском скейлинговом пределе найдено поведение всех восьми структурных функций, описывающих такой процесс, в предположении, что партоны имеют спии 0 или 1/2. Обсуждены некоторые следствия найденного поведения структурных функций.

 В работе [1] с учетом поляризационных состояний векторного мезона был проведен феноменологический анализ инклюзивного процесса

$$e^+ + e^- \to V + X,\tag{1}$$

который в общем случае описывается восемью структурными функциями. С целью проверки различных теоретических представлений, в частности, кварк-партонных моделей, в указанной работе [1] обсуждалась возможность экспериментального определения спиновых структурных функций, характеризующих этот процесс.

В настоящей работе мы рассматриваем процесс (1) на основе ковариантной партонной модели [2]. В бьеркеновском скейлинговом пределе будет найдено поведение всех структурных функций в случае скалярных партонов и партонов спина 1/2 и даны предсказания для угловых распределений продуктов распада векторного мезона и поляризационных параметров в конечном состоянии.

2. Дифференциальное сечение процесса (1) имеет вид [1]

$$d\sigma = \frac{\alpha^2}{2 s^2} L_{\mu\nu} t_{\mu\nu}^{\alpha\beta} P_{\alpha\beta} \frac{d\mathbf{p}}{p_0}$$
 (2)

(здесь и далее используются обозначения работы [1], если это не оговорено). Лептонная часть хорошо известна, и в дальнейшем мы будем заниматься изучением взаимодействия виртуального γ -кванта с адронным блоком. Это взаимодействие описывается тензором $t_{\mu\nu}^{\alpha\beta}$, который схематически можно изобразить диаграммой рис. 1. На ней $\mu(\nu)$ и $\alpha(\beta)$ — соответственно индексы 4-векторов, описывающих γ -квант и векторный мезон, значок (+) относится к физической амплитуде перехода $\gamma^* \rightarrow VX$, а значок (-) — к комплексно-сопряженной амплитуде, внутренние линии соответствуют всевозможным наборам реальных частиц, из которых слагается X.

Тензор $t_{\mu\nu}^{\alpha\beta}$ был построен в работе [1]. Удобно разбить его на симметричную и антисимметричную по индексам μ и ν части:

$$t_{\mu\nu}^{\epsilon\beta} = \delta_{\alpha\beta} \left(\bar{\delta}_{\mu\nu} t_1 + \frac{1}{m_V^2} \bar{p}_{\mu} \bar{p}_{\nu} t_2 \right) + \frac{1}{m_V^2} q_{\alpha} q_{\beta} \left(\bar{\delta}_{\mu\nu} t_3 + \frac{1}{m_V^2} \bar{p}_{\mu} \bar{p}_{\nu} t_4 \right) +$$

$$+ (\bar{\delta}_{\mu\alpha} \bar{\delta}_{\nu\beta} + \bar{\delta}_{\mu\beta} \bar{\delta}_{\nu\alpha}) t_5 + \frac{1}{m_V^2} (\bar{p}_{\mu} \bar{\delta}_{\nu\alpha} q_{\beta} + \bar{p}_{\nu} \bar{\delta}_{\mu\beta} q_{\alpha} + \bar{p}_{\mu} \bar{\delta}_{\nu\beta} q_{\alpha} + \bar{p}_{\nu} \bar{\delta}_{\mu\alpha} q_{\beta}) t_6' +$$

$$+ (\bar{\delta}_{\mu\alpha} \bar{\delta}_{\nu\beta} - \bar{\delta}_{\mu\beta} \bar{\delta}_{\nu\alpha}) t_7' + \frac{1}{m_V^2} (\bar{p}_{\mu} \bar{\delta}_{\nu\alpha} q_{\beta} + \bar{p}_{\nu} \bar{\delta}_{\mu\beta} q_{\alpha} - \bar{p}_{\mu} \bar{\delta}_{\nu\beta} q_{\alpha} - \bar{p}_{\nu} \bar{\delta}_{\mu\alpha} q_{\beta}) t_8', \qquad (3)$$

где

$$\overline{\delta}_{\mu\nu} = \delta_{\mu\nu} - \frac{q_{\mu}q_{\nu}}{q^2}$$
, $\overline{p}_{\mu} = p_{\mu} - \frac{(qp)}{q^2} q_{\mu}$.

Структурные функции $t_5' + t_8'$ связаны с соответствующими функциями, используемыми в работе [1], соотношениями

$$t_{5,7}^{'} = \frac{1}{2} (t_5 \pm t_6), \ t_{6,8}^{'} = \frac{1}{2} (t_7 \pm t_8).$$

Входящие в (3) структурные функции зависят от двух независимых инвариантов: $s = -q^2$ и v = -(qp), которые в физической области процесса (1) положительно определены в используемой метрике.

Рассмотрим матричный элемент виртуального комптон-эффекта $\gamma_*^*V_{\rm B} \to \gamma_u^*V_{\rm E}$ (рис. 2):

$$K_{\mu\nu}^{\alpha\beta}(s_0, t_0, u_0, -q_1^2, -q_2^2) = i \int d^4x e^{-i\frac{1}{2}(q_1 + q_2)x} \langle p_2, \alpha | T(J_{\mu}(x) J_{\nu}(0)) | p_1, \beta \rangle,$$
(4)

где T означает хронологическое упорядочение, $s_{\rm o},\,t_{\rm o},\,u_{\rm o}$ — обычные мандельстамовские переменные:

$$s_0 = -(p_1 + q_2)^2$$
, $t_0 = -(q_1 - q_2)^2$, $u_0 = -(p_1 - q_2)^2$.

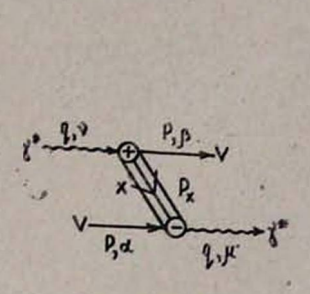
Аналитические свойства 4-хвосток хорошо изучены, и обычно считается, что при $t_0 \le 0$ комптоновская амплитуда является аналитической функцией своих аргументов с правым и левым разрезами по переменной S_0 и правыми разрезами по переменным (— q_1^2) и (— q_2^2).

В области $q^2 > 0$, которая реализуется в процессах электророждения, комптоновская амплитуда является аналитической при наличии разрезов только по переменной S_0 . Поэтому адронный тензор, описывающий процесс глубоконеупругого электророждения, с помощью условия унитарности непосредственно выражается через мнимую часть амплитуды комптоновского рассеяния вперед.

Для времениподобных значений квадрата импульса виртуального фотона мнимая часть комптоновской амплитуды наряду с диаграммой рис. 1 содержит также другие диаграммы [3], существование которых связано с возможностью непосредственного перехода такого фотона в адроны. Для выделения вклада интересующего нас члена, изображаемого диаграммой

рис. 1, необходимо в (4) положить $p_1 = p_2 = -p$, $-q_1^2 = s + i\epsilon'$, $-q_2^2 = s - i\epsilon'$ и найти скачок [4, 5] по переменной $v = \frac{1}{4}(u_0 - s_0)$:

$$2 i\pi t_{\mu\nu}^{\alpha\beta}(\nu, s) = K_{\mu\nu}^{\alpha\beta}(\nu + i\epsilon, s + i\epsilon', s - i\epsilon') - K_{\mu\nu}^{\alpha\beta}(\nu - i\epsilon, s + i\epsilon', s - i\epsilon').$$
(5)



P₁₁P P₂, d

Рис. 1.

Рис. 2.

Таким образом, задача нахождения поведения структурных функций, описывающих процесс (1), в бьеркеновском скейлинговом пределе (при $v \to \infty$ и фиксированном $\omega = 2v/s$) сводится к исследованию комптоновской амплитуды $K_{\mu\nu}^{a\beta}$. Наше дальнейшее рассмотрение будет базироваться на партонной модели [2], не связанной с теорией возмущений. В основе модели лежит динамический постулат, согласно которому адронная амплитуда с внешними партонными линиями быстро стремится к нулю, когда квадрат импульса какого-либо партона становится большим. Как было показано в [2], в скейлинговом пределе основной вклад в комптоновскую амплитуду дают диаграммы типа изображенных на рис. 3, на кото-

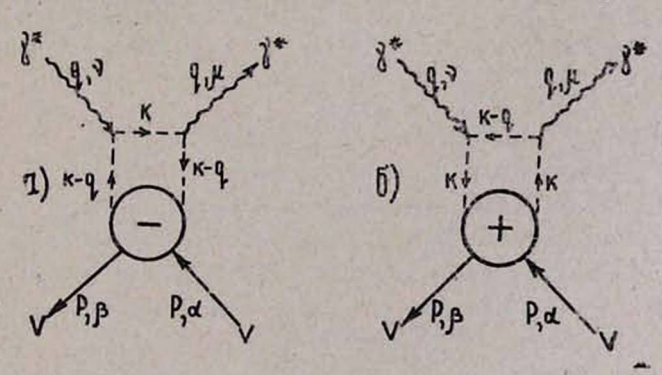


Рис. 3.

рых пунктирные линии относятся к партонам, а стрелки на них указывают направление импульса и положительного заряда. Они не являются фейнмановскими диаграммами, и кружочки на них обозначают полные амплитуды.

Ниже будут рассмотрены случаи скалярных партонов и партонов спина 1/2. Если имеются партоны нескольких типов, то в скейлинговом пределе сечение будет некогерентной суммой вкладов различных типов партонов [2].

3. Для партонов, описываемых заряженным скалярным полем, амплитуда, соответствующая диаграммам рис. 3, записывается в виде

$$K_{\mu\nu}^{\alpha\beta} = \frac{1}{(2\pi)^4} \int d^4k \, (2k-q)_{\mu} (2k-q)_{\nu} [R_{\alpha\beta}^- \Delta_F^{'}(k^2) + R_{\alpha\beta}^+ \Delta_F^{'}((k-q)^2)], \quad (6)$$

где $R_{a\beta}^{\mp}$ — партон-вектонные амплитуды, Δ_F' — пропагатор скалярного поля.

Для анализа интеграла в (6) применяется техника Грибова [6], использующая переменные Судакова. Представим 4-импульс k_n в виде

$$k_{\mu} = -x p_{\mu} + y q_{\mu} + x_{\mu}, \tag{7}$$

где \varkappa_{μ} удовлетворяет условням ($\varkappa p$) = ($\varkappa q$) = 0 и в силу этого является пространственноподобным двумерным вектором. Следовательно, величины x, y и \varkappa можно использовать в качестве новых переменных интегрирования, причем

$$d^4 k = \gamma \sqrt{1 - \frac{2m_V^2}{\gamma_{00}}} dx dy d^2 x. \tag{8}$$

Рассмотрим первый член в (6), соответствующий диаграмме рис. За. Амплитуда $R_{\alpha\beta}^-$ должна быть построена из 4-импульсов, характеризующих партон-вектонную 4-хвостку на этой диаграмме, но не должна содержать p_α и p_8 . Она имеет вид

$$R_{\alpha\beta}^{-} = \delta_{\alpha\beta} R_{1}^{-} + (k - q)_{\alpha} (k - q)_{\beta} R_{2}^{-}. \tag{9}$$

Для указанной 4-хвостки мандельстамовские переменные есть

$$s' = -(p+k-q)^2$$
, $t' = 0$, $u' = -(p-k+q)^2$.

Они связаны соотношением

$$s' + u' = 2 m_v^2 + 2 \mu^2$$

где $\mu^2 = -(k-q)^2$ — квадрат импульса партона.

Если в качестве независимых инвариантов взять u' и μ^2 , то согласно общим идеям аналитичности инвариантные амплитуды $R_{1,2}^-$ могут иметь особенности по μ^2 и разрезы по u'. Выразив с помощью (7) эти инварианты через x, y и x, перейдя к пределу $v \to \infty$ и требуя, чтобы μ^2 при этом было конечным, как этого требует динамический постулат, нетрудно видеть, что основной вклад в интеграл по y дает область $y \sim 1$. Произведя замену переменной

$$y=1+\frac{y'}{2^{\nu}},$$

в скейлинговом пределе находим

$$u' = m_V^2 (1+x)^2 - (1+x) y' - x^2,$$

$$\mu^2 = m_V^2 x^2 - xy' - x^2,$$

$$k^2 = 2 yx - s.$$
(10)

Подставим (9) в (6) и исследуем тензорную структуру соответствующей комптоновской амплитуды. Заметим, что произведение нечетного числа векторов \varkappa_{μ} не дает вклада в интеграл. В случае четного числа векторов \varkappa_{μ} под интегралом можно заменить

$$\begin{aligned}
z_{\mu}z_{\nu} &\to \frac{1}{2} z^{2} \left(\overline{\delta}_{\mu\nu} - \frac{s}{\nu\lambda} \overline{p}_{\mu} \overline{p}_{\nu} \right), \\
z_{\mu}z_{\nu}z_{\alpha}z_{\beta} &\to \frac{1}{8} z^{4} \left[\delta_{\alpha\beta} \overline{\delta}_{\mu\nu} + \overline{\delta}_{\nu\alpha} \overline{\delta}_{\nu\beta} + \overline{\delta}_{\mu\beta} \overline{\delta}_{\nu\alpha} - \frac{m_{V}^{2}}{\nu\lambda} \overline{\delta}_{\mu\nu} q_{\alpha} q_{\beta} - \right. \\
&- \frac{s}{\nu\lambda} \overline{p}_{\mu} \overline{p}_{\nu} \delta_{\alpha\beta} + \frac{1}{\lambda} (\overline{p}_{\mu} \overline{\delta}_{\nu\alpha} q_{\beta} + \overline{p}_{\nu} \overline{\delta}_{\mu\beta} q_{\alpha} + \overline{p}_{\mu} \overline{\delta}_{\nu\beta} q_{\alpha} + \overline{p}_{\nu} \overline{\delta}_{\mu\alpha} q_{\beta}) + \\
&+ \frac{1}{\lambda^{2}} \left(2 + \frac{m_{V}^{2} s}{\nu^{2}} \right) \overline{p}_{\mu} \overline{p}_{\nu} q_{\alpha} q_{\beta} \right], \\
\lambda &= \nu \left(1 - \frac{m_{V}^{2} s}{\nu^{2}} \right).
\end{aligned}$$

С учетом сохранения электромагнитного тока партонов (2(kq)+s=0) для вклада диаграммы рис. 3a в комптоновскую амплитуду в скейлинговом пределе получаем

$$\begin{split} K_{\mu\nu}^{\alpha\beta}{}^{(-)} &= -\frac{1}{2 (2\pi)^4} \int \frac{dx dy' d^2x}{2vx - s} \left\{ 2 \, x^2 \left(R_1^- + \frac{1}{4} \, x^2 \, R_2^- \right) \, \delta_{\alpha\beta} \, \overline{\delta}_{\mu\nu} + \right. \\ &+ 2 x^2 \left(2 \, R_1^- + x^2 \, R_2^- \right) \, \delta_{\beta\beta} \, \overline{p}_{\mu} \, \overline{p}_{\nu} + \left[\frac{x^2}{2v^2} \left(y'^2 - m_V^2 \, x^2 \right) \, q_{\alpha} \, q_{\beta} \, \overline{\delta}_{\mu\nu} + \right. \\ &+ \frac{1}{v^2} \left(x^2 y'^2 - 2 \, m_V^2 \, x^2 x^2 - 4 \, x \, y' \, x^2 + x^4 \right) \, q_{\alpha} q_{\beta} \, \overline{p}_{\nu} \, \overline{p}_{\nu} + \\ &+ \frac{1}{2} \, x^4 \left(\, \overline{\delta}_{\mu\alpha} \, \overline{\delta}_{\nu\beta} + \overline{\delta}_{\mu\beta} \, \overline{\delta}_{\nu\alpha} \right) + \frac{x^2}{2v} \left(x^2 - 2 x y' \right) \left(\, \overline{p}_{\mu} \, \overline{\delta}_{\nu\alpha} \, q_{\beta} + \overline{p}_{\nu} \, \overline{\delta}_{\mu\beta} \, q_{\alpha} + \right. \\ &+ \left. \left. + \overline{p}_{\mu} \, \overline{\delta}_{\nu\beta} \, q_{\alpha} + \overline{p}_{\nu} \, \overline{\delta}_{\mu\alpha} \, q_{\beta} \right) \, \right] \, R_2^- \right\}. \end{split}$$

При вычислении скачка полученного выражения по ν необходимо иметь в виду, что величины $R_{1,2}^{-}$, будучи функциями инвариантов u' и μ^2 , не зависят от ν . Поэтому можно воспользоваться формулой

$$\frac{1}{x(\nu+i\varepsilon)^n - \frac{s}{2} (\nu+i\varepsilon)^{n-1}} - \frac{1}{x(\nu-i\varepsilon)^n - \frac{s}{2} (\nu-i\varepsilon)^{n-1}} = \frac{1}{x(\nu-i\varepsilon)^n - \frac{s}{2} (\nu-i\varepsilon)^{n-$$

Наличие мнимых добавок к s в (5) приводит к отличному от случая влектророждения расположению особенностей инвариантных амплитуд (типа $R_{1,2}^{-}$) в плоскости y', чем и обусловлена невозможность в общем случае

A 12 Towns

аналитического продолжения структурных функций электророждения в область e^+e^- -аннигиляции [2].

Чтобы найти вклад диаграммы рис. 3(б) в комптоновскую амплитуду,

необходимо в (6) подставить

$$R_{a3}^{+} = \delta_{a3} R_{1}^{+} + k_{a} k_{3} R_{2}^{+}. \tag{14}$$

Замечая, что для этой диаграммы в интеграле по y существенной является область $y \sim 0$, полагая y = -y'/2v и учитывая, что при вычислении скачка по v в этом случае возникает $\delta(x+1/\omega)$, мы приходим к выражению для скачка, которое получается из (12), если $R_{1,2}^{-} \rightarrow -R_{1,2}^{+}$.

Введем амплитуды

$$R_{1,2} = R_{1,2}^- - R_{1,2}^+$$

которые являются функциями инвариантов

$$u' = m_V^2 \left(1 + \frac{1}{\omega}\right)^2 - \left(1 + \frac{1}{\omega}\right) y' - x^2,$$

$$\mu^2 = \frac{m_V^2}{\omega^2} - \frac{y'}{\omega} - x^2.$$

Из сравнения (3) и (5) для структурных функций в бъеркеновском скейлинговом пределе получаем

$$\frac{v}{m_{V}^{2}} t_{1,2} = F_{1,2}(\omega), \quad \frac{v^{3}}{m_{V}^{6}} t_{3,4} = F_{3,4}(\omega), \quad \frac{v}{m_{V}^{2}} t_{5}' = F_{5}(\omega),$$

$$\frac{v^{2}}{m_{V}^{4}} t_{6}' = F_{6}(\omega), \quad t_{7}' = t_{8}' = 0,$$
(15)

где

$$F_{i}(\omega) = \frac{1}{(2\pi)^{4}} \int dy' d^{2} x f_{i}(\omega, y', x^{2}), \qquad (16)$$

$$f_{1} = \frac{x^{2}}{2m_{V}^{2}} \left(R_{1} + \frac{1}{4} x^{2} R_{2} \right), \quad f_{2} = \frac{1}{\omega^{3}} \left(R_{1} + \frac{1}{2} x^{2} R_{2} \right),$$

$$f_{3} = \frac{x^{2}}{8m_{V}^{4}} \left(y'^{2} - m_{V}^{2} x^{2} \right) R_{2}, \quad f_{4} = \frac{1}{4m_{V}^{2}} \left(\frac{y'^{2} - 2m_{V}^{2} x^{2}}{\omega^{2}} - \frac{4y' x^{5}}{\omega} + x^{4} \right) R_{2},$$

$$f_{5} = \frac{x^{4}}{8m_{V}^{2}} R_{2}, \quad f_{6} = \frac{x^{2}}{8m_{V}^{2}} \left(x^{2} - \frac{2y'}{\omega} \right) R_{2}.$$

Нетрудно установить также скейлинговое поведение структурных функций, непосредственно характеризующих зависимость адронного тензора [1]

$$T_{\mu\nu} = \overline{\delta}_{\mu\nu} T_1 + \frac{1}{m_V^2} \overline{p}_{\mu} \overline{p}_{\nu} T_2 + \frac{1}{m_V} a_{\rho} e_{\mu\nu\gamma\sigma} q_{\sigma} \left(\hat{\delta}_{\rho\gamma} T_3 + \frac{1}{m_V^2} q_{\rho} q_{\gamma} T_4 \right) +$$

$$+ D_{\alpha\beta} \left[\frac{1}{m_V^2} q_{\alpha} q_{\beta} \left(\overline{\delta}_{\mu\nu} T_5 + \frac{1}{m_V^2} \overline{p}_{\mu} \overline{p}_{\nu} T_6 \right) + \overline{\delta}_{\mu\alpha} \overline{\delta}_{\nu\beta} T_7 + \right.$$

$$\left. + \frac{1}{m_V^2} q_{\alpha} \left(\overline{p}_{\mu} \overline{\delta}_{\nu\beta} + \overline{p}_{\nu} \overline{\delta}_{\mu\beta} \right) T_8 \right]$$

$$(17)$$

от вектора поляризации вектона и его квадрупольной поляризации. Воспользовавшись приведенными в работе [1] соотношениями, находим

$$\frac{v}{m_V^2} T_1 = F_1 + \frac{1}{3} (F_3 + 2F_5),$$

$$\frac{v}{m_V^2} T_2 = F_2 + \frac{1}{3} (F_4 + 2F_5 - 4F_6),$$

$$T_3 = T_4 = 0, \quad \frac{v^3}{m_V^6} T_{5, 6} = -\frac{1}{2} F_{2, 4},$$

$$\frac{v}{m_V^2} T_7 = -\frac{1}{2} F_5, \quad \frac{v^2}{m_V^4} T_8 = -\frac{1}{2} F_6.$$
(18)

Посмотрим теперь, к каким наблюдаемым следствиям мы приходим эслучае скалярных партонов. Считая скейлинговые структурные функции $F_t(\omega)$ конечными и отличными от нуля, проанализируем общие формулы, полученные в работе [1]. Для структурных функций \overline{W}_1 и \overline{W}_2 , определяющих сечение процесса (1) в случае, когда по поляризациям векторной частицы проводится суммирование, получаем

$$\frac{\gamma}{m_V^2} \overline{W}_1 = 3F_1 + F_3 + 2F_5,$$

$$\frac{\gamma}{m_V^2} \overline{W}_2 = 3F_2 + F_4 + 2F_5 - 4F_6,$$
(19)

т. е. они имеют одинаковое скейлинговое поведение. В случае не очень малых углов θ рождения векторного мезона недиагональные элементы матрицы плотности $\rho_{\lambda\lambda'}$ векторного мезона малы по сравнению с диагональными элементами $(\rho_{\lambda\lambda'} \sim (m_V/1)^{-\gamma})^{\Delta\lambda}$, где $\Delta\lambda = |\lambda-\lambda'| = 1$, 2), и угловое распределение продуктов распада векторного мезона на псевдоскалярные частицы принимает простой вид

$$W'(\theta', \varphi') = \frac{3}{4\pi} \left[\rho_{00} + \frac{1}{2} (1 - 3 \rho_{00}) \sin^2 \theta' \right], \qquad (20)$$

не зависящий от азимутального угла, где

$$\rho_{00} = \frac{F_2 + F_4 + 2F_5 - 4F_6}{3F_2 + F_4 + 2F_5 - 4F_6} \tag{21}$$

при произвольной поляризации аннигилирующей e^+e^- -пары и любом угле θ вылета векторного мезона. Для нормированного углового распределения продуктов распада векторного мезона на лептонную пару получаем

$$W(\theta', \varphi') = \frac{3}{8\pi} \frac{1}{1 + \frac{2m_l^2}{m_V^2}} \left\{ 1 - \left(1 - \frac{4m_l^2}{m_V^2} \right) \left[\rho_{00} + \frac{1}{2} \left(1 - 3 \rho_{00} \right) \sin^2 \theta' \right] \right\}, \quad (22)$$

где m_l — масса лептона (члены, содержащие массу лептона, не отброшены с целью включения в рассмотрение также векторных мезонов, которые могли бы распадаться на пару тяжелых лептонов). Вектор поляризации вектона выражается через структурные функции T_s и T_4 и тождественно равен нулю.

Перейдем к рассмотрению более реалистического случая, когда партоны, с помощью которых осуществляется взаимодействие γ-кванта с адронами, имеют спин 1/2. Комптоновская амплитуда, соответствующая диа-

граммам рис. 3, есть

$$K_{\mu\nu}^{\alpha\beta} = \frac{1}{(2\pi)^4} \int d^4k \, \mathrm{Sp} \left[\gamma_{\mu} \, S_F^{'}(k) \, \gamma_{\nu} \, R_{\alpha\beta}^{-} + \gamma_{\nu} \, S_F^{'}(k-q) \, \gamma_{\mu} \, R_{\alpha\beta}^{+} \right], \tag{23}$$

где в отличие от (6) партон-вектонные амплитуды $R_{\alpha\beta}^{\mp}$ являются матрицами в спинорном пространстве. Для пропагатора партона используется спектральное представление [2]

$$S_F'(k) = \int_0^\infty dm^2 \frac{i\hat{k}\rho_2(m^2) - \rho_1(m^2)}{k^2 + m^2}$$
 (24)

с условием

$$\int\limits_0^\infty dm^2\,\rho_2(m^2)=1,$$

следующим из требования, чтобы $S_F^{'}(k) \rightarrow ik/k^2$ при больших k^2 .

Анализ выражения (23) значительно сложнее, чем выражения (6) в случае скалярных партонов. Разложим амплитуду $R_{\alpha\beta}^-$ по полному набору матриц 4×4 :

$$R_{\alpha\beta}^{-} = I R_{\alpha\beta}^{(1)} + i \gamma_{\lambda} R_{\alpha\beta\lambda}^{(2)} + \frac{1}{2} (\gamma_{\lambda} \gamma_{\tau} - \gamma_{\tau} \gamma_{\lambda}) R_{\alpha\beta\lambda\tau}^{(3)} + i \gamma_{5} \gamma_{\lambda} R_{\alpha\beta\lambda}^{(4)}.$$
 (25)

Эдесь не выписан член, содержащий матрицу γ_5 , так как он не дает вклада в (23). Соответствующие тензорные структуры в (25) должны быть построены из 4-импульсов p и $k' \equiv k - q$, но по-прежнему не должны содержать p_α и p_β . Из общих требований для указанных тензоров получаем

$$R_{\alpha\beta}^{-} = \delta_{\alpha\beta} R_{1}^{-} + k_{\alpha} k_{\beta}^{'} R_{2}^{-},$$

$$R_{\alpha\beta\lambda}^{(2)-} = \delta_{\alpha\beta} (p_{\lambda} R_{3}^{-} + k_{\lambda}^{'} R_{4}^{-}) + k_{\alpha}^{'} k_{\beta}^{'} (p_{\lambda} R_{5}^{-} + k_{\lambda}^{'} R_{6}^{-}) + (\delta_{\alpha\lambda} k_{\beta}^{'} + \delta_{\beta\lambda} k_{\alpha}^{'}) R_{7}^{-},$$

$$(26)$$

$$R_{\alpha\beta\lambda}^{(3)-} = \delta_{\alpha\lambda} \delta_{\beta\tau} R_{8}^{-} + (\delta_{\alpha\lambda} k_{\beta}^{'} - \delta_{\beta\lambda} k_{\alpha}^{'}) (p_{\tau} R_{9}^{-} + k_{\tau}^{'} R_{10}^{-}),$$

$$R_{\alpha\beta\lambda}^{(4)-} = e_{\rho\gamma\lambda\tau} [\delta_{\alpha\rho} \delta_{\beta\gamma} (p_{\tau} R_{11}^{-} + k_{\tau}^{'} R_{12}^{-}) + (\delta_{\alpha\gamma} k_{\beta}^{'} - \delta_{\beta\gamma} k_{\alpha}^{'}) p_{\rho} k_{\tau}^{'} R_{13}^{-}],$$

где $R_1^- \div R_{13}^-$ — инвариантные амплитуды, для которых остается справедливым все, что говорилось о соответствующих амплитудах в случае скалярных партонов.

Если подставить (24) и (25) в (23), вычислить след и исследовать получающийся при этом тензор, можно видеть, что члены, пропорциональ312.

ные ρ_1 , а именно те члены, которые содержат R_1^- , R_2^- , $R_8^- \div R_{10}^-$, в бьеркеновском скейлинговом пределе в главном порядке не дают вклада в комптоновскую амплитуду. Их вклад не мал лишь в градиентно-неинвариантных структурах, и требование сохранения электромагнитного тока партонов приводит к определенным интегральным соотношениям между указанными инвариантными амплитудами и остальными. Вычислив, наконец, с помощью формулы (13) скачок по ν , найдем вклад диаграммы рис. За в интересующий нас тензор $t_{\rm p, \nu}^{a\beta}$. Вклад диаграммы рис. Зб можно получить с помощью кроссинга, приводящего в конечном счете к заменам

$$R_{3,5,12}^- \rightarrow R_{3,5,12}^+, R_{4,6,7,11,13}^+ \rightarrow -R_{4,6,7,11,13}^+$$
 (27)

В результате в случае партонов спина 1/2 для структурных функций, определяющих процесс (1), получаем следующее скейлинговое поведение:

$$t_{1} = F_{1}(\omega), \frac{\gamma}{m_{V}^{2}} t_{2} = F_{2}(\omega), \frac{\gamma^{2}}{m_{V}^{4}} t_{3} = F_{3}(\omega), \frac{\gamma^{3}}{m_{V}^{6}} t_{4} = F_{4}(\omega),$$

$$\frac{\gamma}{m_{V}^{2}} t_{5}' = F_{5}(\omega), \frac{\gamma^{2}}{m_{V}^{4}} t_{6}' = F_{6}(\omega), t_{7}' = F_{7}(\omega), \frac{\gamma}{m_{V}^{2}} t_{8}' = F_{8}(\omega);$$
(28)

 $F_{\ell}(\omega)$ имеют интегральное представление (16), а f_{ℓ} есть

$$f_{1} = -\frac{\omega}{2} f_{2} = R_{3} + \frac{1}{2} x^{2} R_{5} - \frac{1}{\omega} \left(R_{4} + \frac{1}{2} x^{2} R_{6} \right),$$

$$f_{3} = \frac{1}{m_{V}^{2}} \left[\frac{1}{4} \left(y'^{2} - 2 m_{V}^{2} x^{2} \right) \left(R_{5} - \frac{1}{\omega} R_{6} \right) - y' R_{7} \right],$$

$$f_{4} = \frac{1}{m_{V}^{2}} \left[\left(-\frac{y'^{2}}{2\omega} + \left(y' + \frac{m_{V}^{2}}{\omega} \right) x^{2} \right) R_{5} + \left(\frac{y'^{2}}{2\omega^{2}} - \left(\frac{m_{V}^{2}}{\omega^{2}} + \frac{2y'}{\omega} - \frac{1}{2} x^{2} \right) x^{2} \right) R_{6} \right],$$

$$f_{5} = \frac{x^{2}}{4 m_{V}^{2}} (x^{2} R_{6} + 4 R_{7}),$$

$$(29)$$

$$f_6=rac{1}{4m_V^2}igg[\ y'{
m x^2}R_5-igg(2rac{y'}{\omega}-{
m x^2}\ igg){
m x^2}\,R_6-2\Big(rac{y'}{\omega}-{
m x^2}\Big)R_7igg]$$
 ,
$$f_7=-f_8{=}R_{11}-rac{1}{\omega}\,R_{12}+{
m x^2}R_{13},$$

где, согласно (27),

$$R_n = R_n^- + R_n^+, \quad n = 3, 5, 12,$$

 $R_n = R_n^- - R_n^+, \quad n = 4, 6, 7, 11, 13.$

Нетрудно видеть, что между скейлинговыми структурными функциями имеет место связь

$$F_{s} = -\frac{\omega}{2}F_{2}, F_{3} = -\frac{\omega}{2}(F_{4} + 2F_{5} - 4F_{6}), F_{7} = -F_{8}.$$
 (30)

Найдем скейлинговое поведение структурных функций T_t . В частности, для T_4 и T_4 в главном порядке по v с учетом (30) имеем

$$T_3 = \frac{\gamma}{m_V^2} T_4 = \frac{\omega}{2} (F_7 + F_8) = 0.$$

Поэтому эти функции необходимо найти в следующем порядке по у. Для них получаем

$$T_{3} = \frac{\omega}{2} \left(t_{7} + \frac{v}{m_{V}^{2}} t_{8}^{2} \right) - t_{8}^{2},$$

$$\frac{v}{m_{V}^{2}} T_{4} = \frac{\omega}{2} \left(t_{7}^{2} + \frac{v}{m_{V}^{2}} t_{8}^{2} \right),$$

тде с учетом одного из не выписанных здесь соотношений, следующих из условия градиентной инвариантности,

$$\frac{\mathbf{v}}{m_V^2}\left(t_7'+\frac{\mathbf{v}}{m_V^2}t_8'\right)=\frac{2}{\omega}F(\omega),$$

а $F(\omega)$ имеет интегральное представление (16), в котором

$$f=-\frac{1}{2}x^2R_{13}.$$

Окончательно приходим к следующему скейлинговому поведению структурных функций T_t :

$$T_{1} = F_{1} + \frac{1}{3}F_{3},$$

$$\frac{\nu}{m_{V}^{2}}T_{2} = F_{2} + \frac{1}{3}(F_{4} + 2F_{5} - 4F_{6}),$$

$$\frac{\nu}{m_{V}^{2}}T_{3} = F - F_{8}, \frac{\nu^{2}}{m_{V}^{4}}T_{4} = F,$$

$$\frac{\nu^{3}}{m_{V}^{4}}T_{5} = -\frac{1}{2}F_{3}, \frac{\nu^{3}}{m_{V}^{6}}T_{6} = -\frac{1}{2}F_{4},$$

$$\frac{\nu}{m_{V}^{2}}T_{7} = -F_{5}, \frac{\nu^{2}}{m_{V}^{4}}T_{8} = -F_{6}.$$
(31)

Замечая, что $\overline{W}_1 = 3T_1$, $\overline{W}_2 = 3T_2$, и используя связь (30), получаем соотношение типа Каллана—Гросса в электророждении:

$$\frac{v}{m_V^2} \, \overline{W}_2 = -\frac{2}{\omega} \, \overline{W}_1. \tag{32}$$

Что касается поведения структурных функций T_3 и T_4 , определяющих зависимость адронного тензора от вектора поляризации вектона, то необходимо отметить, что аналогичное поведение для соответствующих структурных функций было получено в работе [7] при рассмотрении поляризационных эффектов в глубоконеупругом $e\rho$ -рассеянии.

В рассматриваемом случае партонов спина 1/2 при всех значениях угла рождения θ недиагональные элементы матрицы плотности векторного мезона малы по сравнению с диагональными элементами, и для распада векторного мезона на псевдоскалярные частицы угловое распределение имеет вид (20), где теперь

$$\rho_{00} = \frac{F_1 + F_3}{3F_1 + F_3} \tag{33}$$

независимо от поляризации начальных частиц и угла рождения векторного мезона. Прежний вид (22) имеет также угловое распределение продуктов распада $V \to l^+ l^-$. Однако разность распределений, соответствующих спиральностям $\xi_1^{\parallel} = \xi_2^{\parallel} = \pm 1$ распавшихся лептонов, в отличие от случая скалярных партонов, не обращается в нуль и дается выражением [1]

$$W^{+}(\theta', \varphi') - W^{-}(\theta', \varphi') = (\rho_{11} - \rho_{-1-1})\cos\theta',$$
 (34)

тде

$$\rho_{11}-\rho_{-1-1}=2\frac{F_1}{R}\cos\theta\,(\zeta_1^{\parallel}+\zeta_2^{\parallel}),$$

$$R = \frac{1}{2} (3F_1 + F_3) \left[(1 + \cos^2 \theta) (1 + \zeta_1^{\parallel} \zeta_2^{\parallel}) + \sin^2 \theta \cos (\varphi_1 + \varphi_2) \zeta_1^{\perp} \zeta_2^{\perp} \right].$$

Из формулы

$$\alpha_{l}^{0} = \frac{2}{R} \left[-\frac{\sqrt{s}}{m_{V}} T_{3} v_{l} + \left(\frac{-\nu + m_{V} \sqrt{s}}{m_{V}^{2}} T_{3} + \frac{s \mathbf{p}^{2}}{m_{V}^{4}} T_{4} \right) \cos \theta n_{l} \right] (\zeta_{1}^{\parallel} + \zeta_{2}^{\parallel})$$
(35)

для вектора поляризации вектона в его системе покоя в скейлинговом пре-

$$a_{l}^{0} = 2 \frac{F_{8}}{R} \cos \theta (\zeta_{1}^{1} + \zeta_{2}^{1}) n_{l}, \qquad (36)$$

т. е. за исключением области углов $\theta \sim \frac{\pi}{2}$ вектор \mathbf{a}^0 ориентирован по импульсу вектона.

Авторы выражают благодарность С. Г. Матиняну за внимание к работе и обсуждение полученных результатов.

Ереванский физический институт

Поступила 30.V.1978

ЛИТЕРАТУРА

- 1. Г. Н. Хачатрян, Ю. Г. Шахназарян. ЯФ, 26, 1258 (1977).
- P. V. Landshoff, J. C. Polkinghorne, R. D. Short. Nucl. Phys., B 28, 225 (1971).
 P. V. Landshoff, J. C. Polkinghorne. Phys. Reports, 5C, 1 (1972).
- 3. S. D. Drell, D. J. Levy, T. M. Yan. Phys. Rev., D 1, 1617 (1970).
- 4. A. H. Mueller. Phys. Rev., D 2, 2963 (1970).
- 5. P. M. Fishbane, J. D. Sullivan. Phys. Rev., D 6, 3568 (1972).
- 6. В. Н. Грибов. ЖЭТФ, 53, 654 (1967).
- 7. C. Nash. Nucl. Phys., B 31, 419 (1971).

₽ԵՎԵՌԱՑՄԱՆ ԷՖԵԿՏՆԵՐԸ $e^+e^- \rightarrow VX$ ԻՆԿԼՅՈՒԶԻՎ ՊՐՈՑԵՍՈՒՄ ՊԱՐՏՈՆԱՅԻՆ ՄՈԴԵԼԻ ՀԻՄԱՆ ՎՐԱ

9. b. buguspaud, and, 9. cuzbugupaud

Կովարիանա պարտոնային մոդելի հիման վրա ուսումնասիրված է e⁺ e[−]→VX ինկլյուղիվ պրոցեսը այն դեպքում, երբ չի կատարվում գումարում ըստ վեկտորական մեզոնի բևեռացումների։ Բյորկենի սահմանային դեպքում դանված է այդպիսի պրոցեսը նկարագրող բոլոր ուβ կառուցվածքային ֆունկցիաների վարքը սպինի 0 և 1/2 արժեք ունեցող պարտոնների համար։ Քննարկված են կառուցվածքային ֆունկցիաների դանված վարքի որոշ հետևանքները

POLARIZATION EFFECTS IN INCLUSIVE PROCESS $e^+e^- \rightarrow VX$ IN THE PARTON MODEL

G. N. KHACHATRYAN, Yu. G. SHAKHNAZARYAN

On the basis of covariant parton model, the inclusive process $e^+e^- \rightarrow VX$ is considered in the case, when the summation over the polarizations of vector meson is not performed. The behaviour of all the eight structure functions describing such a process was found in the Bjorken scaling limit under the assumption of spin 0 and spin 1/2 partons. Some consequences of the obtained behaviour of structure functions were discussed.